

## 相位舍位对 DDS 谱分布的影响

张玉兴\* 彭清泉

(电子科技大学电子工程系 成都 610054)

**【摘要】** 采用严格的信号分析方法,运用离散傅里叶变换(DFT)和傅里叶变换(FT)详细推导了理想状态和相位舍位条件下直接数字频率合成器(DDS)的频谱分布规律。所得到的理论推算结果与目前公认的结果一致,这对实际的 DDS 系统设计有着极大的参考价值。

**关键词** 直接数字频率合成器; 相位累加器; 相位舍位; 离散傅里叶变换; 傅里叶变换  
中图分类号 TN 74

DDS 作为一种新型的频率合成技术,由于其具有频率分辨率高、捷变速度快以及可灵活产生多种信号等优点,自 70 年代初问世以来一直倍受青睐。特别是近几年,DDS 技术的不断完善以及集成工艺水平的迅速提高加速了 DDS 产品更新换代的步伐,DDS 已进入实用化阶段。生产出高时钟频率、低杂散、低成本、低功耗、集 DAC 于一体并同时具有多种调制功能的 DDS 芯片是 DDS 技术发展的总趋势。目前据有关资料报道: ADS-43x 系列 DDS 时钟频率可达 1.6 GHz,  $L(1 \text{ kHz}) < -100 \text{ dBc/Hz}^{[1]}$ ; 适用于无线通信的低功耗多芯片组件(MCM) DDS 时钟频率可达 2.0 GHz<sup>[2]</sup>; 内部集成有 14 位 DAC 的 MCM DDS OTDDS-1024 时钟频率达到 1.0 GHz,在此基础上推出的 FAST 系列时钟频率可达 20 GHz<sup>[3]</sup>。同时,基于 DDS 的系统也相继推出。以 DDS 为核心构成的相控阵雷达实验系统已经研制成功<sup>[4]</sup>,DDS 也可用于雷达的波形产生和误差校正<sup>[5]</sup>。另外已有 DDS 技术用于个人手提电话和远距离数字无线通信系统的报道。可以预料,随着低价格、高时钟频率、高性能的新一代 DDS 芯片的问世,DDS 的应用前景将不可估量。

DDS 作为一种全数字器件,不可避免地会带来杂散信号,杂散多且较难预知一直是限制 DDS 应用的主要因素。为了获得尽可能纯的信号,除在 DDS 芯片内采用有效的杂散抑制技术外,更现实的是在设计时尽量避开杂散多而强的区域。由此可见研究 DDS 谱分布已显得尤为必要。在此之前,Nicholas III 等人用数论的方法近似推导出了相位舍位对 DDS 谱分布的影响<sup>[6]</sup>,kroupa 等人也有数篇文章采用理论推导和计算机模拟的方法得到了 DDS 谱分析的经验结果<sup>[7,8]</sup>。本文则采用严格的信号分析方法来详细地推导相位舍位时 DDS 的谱分布。

### 1 DDS 的工作原理

下面以 DDS 合成正弦波为例来介绍 DDS 的工作原理。一个完整的 DDS 内部结构如图 1 所示。相位累加器在每一个时钟上升沿与频率控制码  $K$  累加一次,当累加器计数大于  $2^N$  时,相位累加器相当于做一次模余运算。正弦查询表 ROM 在每一个时钟周期内,根据送给 ROM 的地址(相位累加器的前  $m$  位相位值)取出 ROM 中已存储与该地址相对应的正弦幅值,最后将该值送给 DAC 和 LPF 实现量化幅值到一个纯净的正弦信号间的转换。可以看出,输出频率  $f_0$  与时钟频率

① 1997 年 1 月 10 日收稿,1997 年 3 月 4 日修改定稿

\* 男 54 岁 大学 副教授

$f_c$  之间的关系

满足 
$$f_0 = \frac{K}{2^N} f_c \quad (1)$$

DDS 的最小频率分辨率  $\Delta f_{min}$  可达 
$$\Delta f_{min} = \frac{1}{2^N} f_c \quad (2)$$

由 DDS 内部结构知影响 DDS 谱分布的因素有: 相位累加器的输出存在舍位; 正弦查询表 ROM 输出码长有限; DAC 输入的数据总线有限以及 DAC 的非线性。另外时钟的串扰可给 DDS 新增很多杂散, 但可通过适当布线布局等方式予以很好抑制。限于篇幅, 本文只研究相位舍位对 DDS 频谱的影响

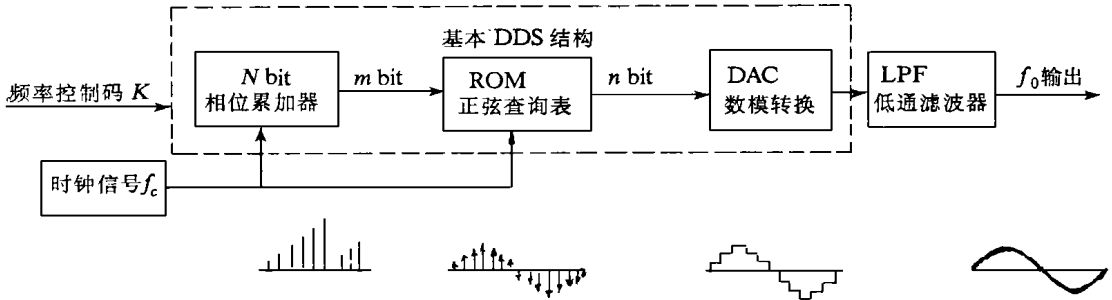


图 1 DDS 用于合成正弦波框图

## 2 理想 DDS 的谱分析

所谓理想 DDS 是指: 1) 无相位舍位; 2) ROM 输出值用无限长的码来表示; 3) DAC 的分辨率无限小并具有理想的数模转换特性; 4) 无时钟串扰。

本文给出了  $K=3, N=4$  时理想 DDS 输出波形, 如图 2 所示。图中的阶梯波即为 DDS 的输出波形, 其数学表达式可写为

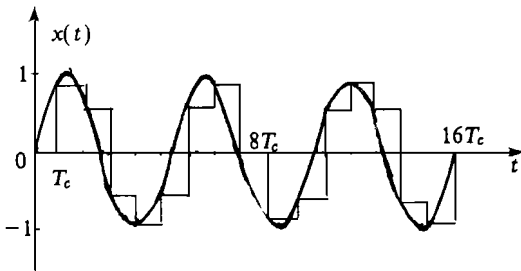


图 2  $f_0 = \frac{K}{2^N} f_c = \frac{3}{16} f_c$  时 DDS 输出波形

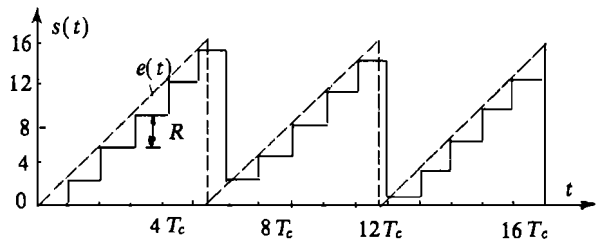


图 3  $R=3, B'=4$  时相位舍位误差序列  $S(t)$

$$X(t) = \sum_{r=-\infty}^{\infty} \text{sinc} k_0 t W(t - r T_c) * P_{T_c}(t - \frac{1}{2} T_c) \quad (3)$$

其中定义

$$P_{T_c}(t - \frac{1}{2} T_c) = \begin{cases} 1 & 0 \leq t < T_c \\ 0 & \text{其他} \end{cases} \quad (4)$$

对  $\sum_{r=-\infty}^{\infty} \sin k_0 t W(t - r T_c)$  作离散傅里叶变换<sup>[9]</sup>

$$\sum_{r=-\infty}^{\infty} \sin k_0 t W(t - r T_c) \xleftrightarrow{\text{DFT}} \frac{1}{T_c} \sum_{r=-\infty}^{\infty} [W(k + r k_c - k_0) - W(k + r k_c + k_0)] \quad (5)$$

又  $P_{T_c}(t - \frac{1}{2} T_c) \xleftrightarrow{\text{FT}} T_c S_a(\frac{k F_c}{2}) \exp(\frac{j k T_c}{2})$  (6)

其中定义  $S_a(x) = \frac{\sin x}{x}$  (7)

根据式 (5) (6) 及  $S_a(x) = S_a(-x)$  可得阶梯波  $X(t)$  的谱分布为

$$X(k) = -j \sum_{r=-\infty}^{\infty} S_a(\frac{f_0 - r f_c}{f_c} c) \exp(j \frac{f_0 - r f_c}{f_c} c) W(k + r k_c - k_0) + j \sum_{r=-\infty}^{\infty} S_a(\frac{f_0 + r f_c}{f_c} c) \exp(j \frac{f_0 + r f_c}{f_c} c) W(k + r k_c + k_0) \quad (8)$$

$X(k)$  即为理想 DDS 输出信号的频域表达式。由此可见, 理想 DDS 输出信号的谱线仅位于  $l k_c \pm k_0$  处 ( $l = 0, \pm 1, \pm 2, \dots$ )。根据奈奎斯特取样准则  $k \leq \frac{1}{2} k_c$ , 不难得出理想 DDS 输出频谱在  $k_0$  处信号最强, 其幅值达  $c S_a(\frac{f_0}{f_c})$ 。

### 3 相位舍位误差 $S(t)$

首先定义  $a = \frac{K}{2^N} = \frac{X}{Y}$  ( $X, Y$  互质),  $\lambda = \text{Gcd}(K, 2^N) = 2^M$  ( $\text{Gcd}$ —最大公约数), 则有  $K = \lambda X, 2^N = 2^M Y$ 。根据 DDS 相位累加器的工作原理知, 该 DDS 实际上只相当于相位累加器位数为  $N' = N - M = \log_2 Y$ , 输入码字为  $X$  的 DDS, 相位累加器输出的最后  $M$  位未起任何作用。在下面的分析中, 我们将相位累加器舍去的位数定为  $B' = B - M$  ( $B$  为实际 DDS 相位舍去的位数), 并假定  $B' > 0$ , 因为当  $B \leq M$  时,  $B' \leq 0$ , 这意味着不存在由相位舍位引起的误差, 即  $S(t) \equiv 0$ 。

令  $S(m)$  为  $t = m T_c$  时的相位舍位误差, 由相位累加器的舍位规则知

$$S(m) = m X \bmod 2^{B'} \quad (9)$$

式中  $\bmod$  表示模余运算。用  $R$  表示每一个时钟周期内的误差增量, 则  $R = S(1) = X \bmod 2^{B'}$ 。图 3 给出了  $R = 3, B' = 4$  时相位舍位误差序列  $S(t)$ 。图中虚线表示周期为  $\frac{2^{B'}}{R} T_c$  的锯齿波  $e(t)$ 。

参照图 3 可写出相位舍位误差  $S(t)$  在整个时域内的表达式为

$$S(t) = \sum_{m=-\infty}^{\infty} S(m) * P_{T_c}(t - \frac{1}{2} T_c) = \sum_{m=-\infty}^{\infty} e(t) W(t - m T_c) * P_{T_c}(t - \frac{1}{2} T_c) \quad (10)$$

经过变换可求得  $e(t)$  的傅里叶变换为

$$E(k) = \sum_{n=1}^{2^{B'}} j \frac{2^{B'}}{n} [W(k - n k_x) - W(k + n k_x)] + 2^{B'} c W(k) \quad (11)$$

其中  $k_x = \frac{R}{2^{B'}} k_c$  (12)

于是冲激序列  $\sum_{m=-\infty}^{\infty} e(t) W(t - m T_c)$  的 DFT  $F(k)$  为

$$F(k) = \frac{1}{T_c} \sum_{m=-\infty}^{\infty} \sum_{n=1}^{\infty} j \frac{2^{B'}}{n} [W(k + m k_c - n k_x) - W(k + m k_c + n k_x)] +$$

$$\frac{c2^{\beta}}{T_c} \sum_{m=-\infty}^{\infty} W(k - mk_x) \quad (13)$$

由式 (6)、(10)、(13) 可得  $S(t)$  的频谱分布为

$$S(k) = \sum_{m=-\infty}^{\infty} \sum_{n=1}^{\infty} j \frac{2^{\beta}}{n} S_a\left(\frac{mf_c - nf_x}{f_c} c\right) \exp(-j \frac{mf_c - nf_x}{f_c} c) W(k + mk_x - nk_x) - \sum_{m=-\infty}^{\infty} \sum_{n=1}^{\infty} j \frac{2^{\beta}}{n} S_s\left(\frac{mf_c + nf_x}{f_c} c\right) \exp(-j \frac{mf_c + nf_x}{f_c} c) W(k + mk_x + nk_x) \quad (14)$$

由式 (14) 可以看出, 相位舍位误差  $S(t)$  的频谱分布在  $mk_x \pm nk_x$  处。在谱线位于  $mk_x + nk_x$  处其频域内的幅值为  $\frac{2^{\beta}}{n} S_s\left(\frac{mf_c + nf_x}{f_c} c\right)$ , 在谱线位于  $mk_x - nk_x$  处, 幅值为  $\frac{2^{\beta}}{n} S_a\left(\frac{mf_c - nf_x}{f_c} c\right)$ , 其中  $m = 0, \pm 1, \pm 2, \dots$ ;  $n = 1, 2, 3, \dots$ 。

#### 4 相位舍位对 DDS 谱分布的影响

假定 DDS 只存在相位舍位误差, 不存在引起杂散的其他因素。由 DDS 工作原理可知经相位舍位后, DDS 输出的正弦波幅值在  $t = mT_c$  处为

$$Z(m) = \sin\left[2^c m \frac{X}{Y} - \frac{2^c}{Y} scm\right] \quad (15)$$

$$\text{实际上 } \frac{2^c}{Y} S(m) \ll 1, \text{ 则 } Z(m) \approx \sin 2^c m \frac{X}{Y} - \frac{2^c}{Y} S(m) \cos 2^c m \frac{X}{Y} \quad (16)$$

由式 (23) 易见,  $S(t)$  引起的 DDS 输出误差  $h(t)$  在  $t = mT_c$  处为

$$h(m) = \frac{2^c}{Y} S(m) \cos 2^c m \frac{X}{Y} \quad (17)$$

据 DDS 的工作原理知  $h(t)$  可表示为

$$h(t) = \frac{2^c}{Y} S(t) u(t) \quad (18)$$

$$\text{式中 } u(t) = \sum_{s=-\infty}^{\infty} \cos k_0 t W(t - sT_c) * P_{T_c}(t - \frac{1}{2} T_c) \quad (19)$$

通过与式 (3) 类似的推导, 可得  $u(t)$  的傅里叶变换为

$$U(k) = \sum_{s=-\infty}^{\infty} S_a\left(\frac{sf_c - f_0}{f_c} c\right) \exp(-j \frac{sf_c - f_0}{f_c} c) W(k + sk_x - k_0) + \sum_{s=-\infty}^{\infty} S_s\left(\frac{sf_c + f_0}{f_c} c\right) \exp(-j \frac{sf_c + f_0}{f_c} c) W(k + sk_x + k_0) \quad (20)$$

由式 (14)、(18)、(20) 可求得由相位舍位引起的 DDS 输出误差的谱分布为

$$\begin{aligned} (k) = & j \frac{c 2^{\beta}}{Y} \sum_{s=-\infty}^{\infty} \sum_{m=-\infty}^{\infty} \sum_{n=1}^{\infty} \frac{1}{n} S_s\left(\frac{mf_c - nf_x}{f_c} c\right) S_a\left(\frac{sf_c - f_0}{f_c} c\right) \exp(-j \frac{pf_c - nf_x - f_0}{f_c} c) \times \\ & W(k + pk_x - nk_x - k_0) + j \frac{c 2^{\beta}}{Y} \sum_{s=-\infty}^{\infty} \sum_{m=-\infty}^{\infty} \sum_{n=1}^{\infty} \frac{1}{n} S_s\left(\frac{mf_c - nf_x}{f_c} c\right) S_a\left(\frac{sf_c + f_0}{f_c} c\right) \times \\ & \exp(-j \frac{pf_c - nf_x + f_0}{f_c} c) W(k + pk_x - nk_x + k_0) - j \frac{c 2^{\beta}}{Y} \sum_{s=-\infty}^{\infty} \sum_{m=-\infty}^{\infty} \sum_{n=1}^{\infty} \frac{1}{n} \times \\ & S_a\left(\frac{mf_c + nf_x}{f_c} c\right) S_a\left(\frac{sf_c - f_0}{f_c} c\right) \exp(-j \frac{pf_c + nf_x - f_0}{f_c} c) W(k + pk_x + nk_x - k_0) - \end{aligned}$$

$$\frac{j^p c^{\beta}}{Y} \sum_{s=-\infty}^{\infty} \sum_{m=-\infty}^{\infty} \sum_{n=1}^{\infty} \frac{1}{n} S_a\left(\frac{mf_c + nf_x}{f_c} c\right) S_a\left(\frac{sf_c + f_0}{f_c} c\right) \exp\left(-j \frac{pf_c + nf_x + f_0}{f_c} c\right) \times \\ W(k + pk_c + nk_x + k_0) \quad (21)$$

式中  $p = s + m$

由式 (21) 可知,  $S(t)$  的存在将会引起频率为  $-pf_c \pm nf_x \pm f_0$  的杂散信号, 其杂散分布如下:

- 1) 在杂散  $f = -pf_c + nf_x + f_0$  处幅度为  $\frac{c^{\beta}}{nY} S_a\left(\frac{mf_c - nf_x}{f_c} c\right) S_a\left(\frac{sf_c - f_0}{f_c} c\right)$ ;
- 2) 在杂散  $f = -pf_c + nf_x - f_0$  处幅度为  $\frac{c^{\beta}}{nY} S_a\left(\frac{mf_c - nf_x}{f_c} c\right) S_a\left(\frac{sf_c + f_0}{f_c} c\right)$ ;
- 3) 在杂散  $f = -pf_c + nf_x + f_0$  处幅度为  $\frac{c^{\beta}}{nY} S_a\left(\frac{mf_c + nf_x}{f_c} c\right) S_a\left(\frac{sf_c - f_0}{f_c} c\right)$ ;
- 4) 在杂散  $f = -pf_c - nf_x - f_0$  处幅度为  $\frac{c^{\beta}}{nY} S_a\left(\frac{mf_c + nf_x}{f_c} c\right) S_a\left(\frac{sf_c + f_0}{f_c} c\right)$

因  $f_0$  需满足  $f_0 \leq 0.5f_c$ , 所以  $S_a\left(\frac{sf_c \pm f_0}{f_c} c\right)$  在  $s = 0$  处取得最大值  $S_a\left(\frac{f_0}{f_c} c\right)$  当  $f_x = \frac{R}{2} f_c < 0.5f_c$  时,

$\frac{c^{\beta}}{nY} S_a\left(\frac{mf_c \pm nf_x}{f_c} c\right)$  在  $m = 0, n = 1$  时取得最大值  $\frac{c^{\beta}}{Y} S_a\left(\frac{f_x}{f_c} c\right)$  当  $0.5f_c \leq f_x \leq f_c$  时,  $\frac{c^{\beta}}{nY} S_a\left(\frac{mf_c \pm nf_x}{f_c} c\right)$  在  $m \mp 1, n = 1$  时取得最大值  $\frac{c^{\beta}}{Y} S_a\left(\frac{f_c - f_x}{f_c} c\right)$ , 于是有如下结论:

- 1) 当  $f_x < 0.5f_c$  时, 最强杂散位于  $\pm f_x \pm f_0$  处, 幅度为  $\frac{c^{\beta}}{Y} S_a\left(\frac{f_x}{f_c} c\right) S_a\left(\frac{f_0}{f_c} c\right)$ ;
- 2) 当  $0.5f_c \leq f_x < f_c$  时, 最强杂散位于  $\pm f_c \pm f_x \pm f_0$  处, 幅度为  $\frac{c^{\beta}}{Y} S_a\left(\frac{f_c - f_x}{f_c} c\right) S_a\left(\frac{f_0}{f_c} c\right)$ .

由于  $|S_a(x)| \leq 1$  所以由相位舍位引起的杂散幅度总小于  $\frac{c^{\beta}}{Y} S_a\left(\frac{f_0}{f_c} c\right)$  另由式 (8) 得到 DDS

输出信号的幅值  $c S_a\left(\frac{f_0}{f_c} c\right)$ , 从而可写出存在相位舍位的 DDS 输出信噪比为

$$\frac{S}{N} > \frac{Y}{c^{\beta}} = \frac{2^N}{2^B} = 2^{N-B} \quad (22)$$

用分贝表示为

$$(S/N)_{dB} > 6.02(N - B) \quad (23)$$

## 5 结束语

本文采用严格的信号分析方法, 在首次对相位累加器进行等效的基础上推导出了相位舍位对 DDS 谱分布的影响程度, 并得到以下结论:

1) 相位舍位将会产生频率为  $-pf_c \pm nf_x \pm f_0$  的杂散信号

2) 当  $f_x < 0.5f_c$  时, 由相位舍位引起的最强杂散位于  $\pm f_x \pm f_0$  处, 幅度为  $c^{\beta-N} S_a\left(\frac{f_x}{f_c} c\right) S_a\left(\frac{f_0}{f_c} c\right)$ ; 当  $0.5f_c \leq f_x \leq f_c$  时, 由相位舍位引起的最强杂散位于  $\pm f_c \pm f_x \pm f_0$  处, 幅度为  $c^{\beta-N} S_a\left(\frac{f_c - f_x}{f_c} c\right) S_a\left(\frac{f_0}{f_c} c\right)$

3) 存在相位舍位的 DDS 输出信噪比优于  $6.02(N - B)$  dB

## 参 考 文 献

- 1 Sciteq Inc. Users guide. San Diego, 1993
- 2 Yamagishi A, Ishikawa M, Tsukahara T et al. A 2-v 2 GHz low power direct digital frequency synthesizer chip set for wireless communication. IEEE Custom Integrated Circuits Conference, 1995: 319~ 322
- 3 A MCM direct digital synthesizer with 12-bit resolution. Microw J( USA ), 1996, 39( 5) : 302~ 304
- 4 Garrod A. Digital modules for phased array radar. IEEE International Radar Conference, 1995: 726 ~ 731
- 5 Adler E D, Viveiros E A, Ton T. Direct digital synthesis applications for radar development. IEEE International Radar Conference, 1995: 224~ 226
- 6 Nicholas H T III, Samuelli H. An analysis of the output spectrum of direct digital frequency synthesizers in the presence of phase-accumulator truncation. IEEE 41st Annual Frequency Control Symposium, 1987: 495~ 502
- 7 Kroupa V F. Discrete sputions siganl and background noise in direct digital frequency synthesizers. Interational Frequency Control Symposium, 1993: 242~ 250
- 8 Kroupa V F. Spectral properties of DDS. Computer simulations and experimental verifications. IEEE International Frequency Control Symposium, 1994: 613~ 623
- 9 Crochiere R E, Rabiner L R. Multirate digital signal processing. New Jersey: Prentice-Hall Inc, 1983 : 13~ 18

## Effect on Output Spectrum of DDS in Presence of Phase Truncation

Zhang Yuxin Peng Qingquan

(Dept. of Electronic Eng., UEST of China Chengdu 610054)

**Abstract** Based on rigorous signal analysis, some spectrum expressions of direct digital synthesizer ( DDS ) are presented by employing discrete Fourier transform ( DFT ) and Fourier transform ( FT ) in this paper. First, the output characteristics of DDS with ideal parameters are discussed. Then, the distribution and amplitude of output spectrum of DDS are provided in the presence of phase-accumulator truncation in details. The deduced results are quite in agreement with general-recognized ones. The conclusion is useful for real DDS System design.

**Key words** direct digital synthesizer; phase accumulator; phase truncation; discrete Fourier transform; Fourier transform

编辑 徐培红